

บทที่ 4

ผลการทดลอง

การทดลองที่ 1. ผลของเซรัมถึงแก่ระยะต่างๆต่อการหลั่งฮอร์โมน FSH จากเซลล์ต่อมใต้สมองของหนูขาว

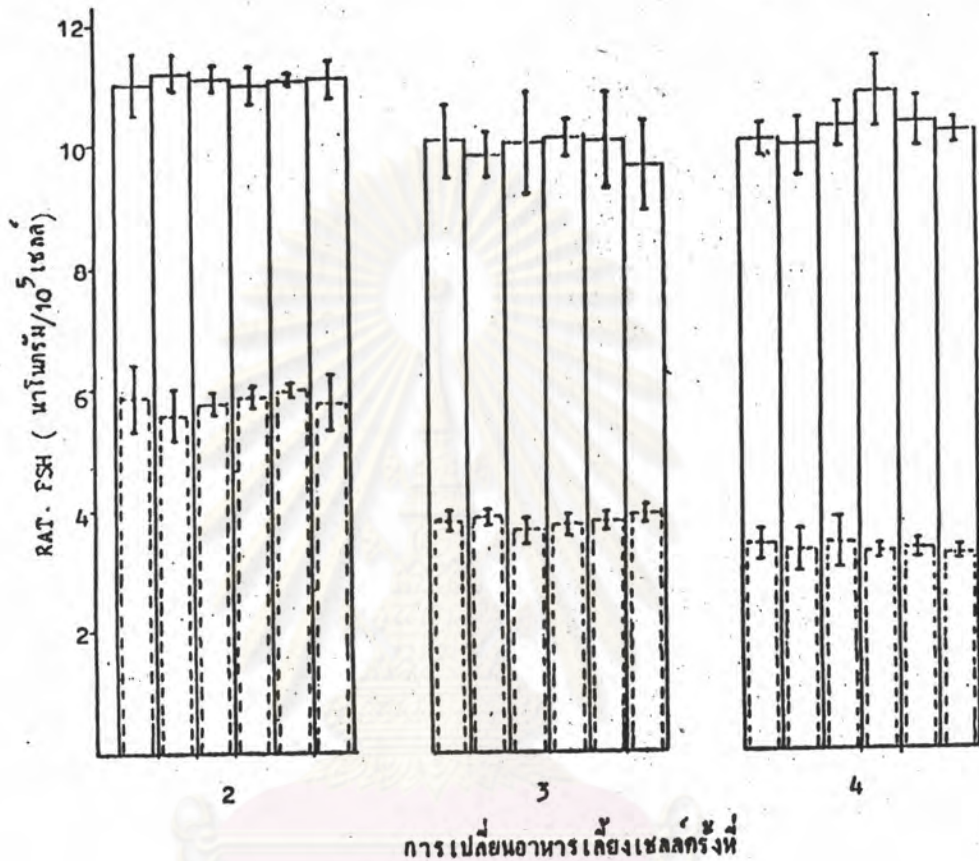
1.1 ปริมาณฮอร์โมน FSH ในกลุ่มควบคุม

จากรูปที่ 11 เป็นกลุ่มควบคุมแสดงปริมาณฮอร์โมน FSH ที่หลั่งจากเซลล์ต่อมใต้สมองของหนูขาวที่วัดโดยวิธี bioassay (BA) และ radioimmunoassay (RIA) ของแต่ละการทดลองรวม 6 การทดลอง 18 ตัวอย่าง พบว่า BA-FSH และ RIA-FSH ของกลุ่มควบคุมทุกการทดลองไม่แตกต่างกัน ดังนั้นจึงใช้ค่าเฉลี่ยของกลุ่มควบคุมทั้ง 18 ตัวอย่างเป็นกลุ่มควบคุมในแต่ละการทดลอง ในตารางที่ 7 และรูปที่ 12 จะพบว่าค่า BA-FSH ของกลุ่มควบคุมค่อนข้างคงที่ในอาหารเลี้ยงเซลล์ของการเปลี่ยนทั้ง 3 ครั้ง ส่วนค่า RIA-FSH จะลดต่ำลงเรื่อยๆในอาหารเลี้ยงเซลล์ของการเปลี่ยนครั้งที่ 2, 3 และ 4 ทำให้อัตราส่วนของ BA:RIA ของฮอร์โมน FSH สูงขึ้นจาก 1.95, 2.65 และ 3.16 ในช่วง 72, 84 และ 96 ช.ม.ตามลำดับ และในรูปที่ 14 แสดงปริมาณสะสมของฮอร์โมน FSH ในรูป BA-FSH และ RIA-FSH

1.2 ปริมาณฮอร์โมน FSH จากการใส่เซรัมถึงแก่เพศผู้ระยะ S₁

จากรูปที่ 7 และรูปที่ 12 เมื่อใส่เซรัมถึงแก่เพศผู้ระยะ S₁ ลงในเซลล์ต่อมใต้สมองของหนูขาวจะพบว่าค่า BA-FSH ในอาหารเลี้ยงเซลล์ของการเปลี่ยนทั้ง 3 ครั้งจะไม่แตกต่างไปจากกลุ่มควบคุม ส่วนค่า RIA-FSH ในอาหารเลี้ยงเซลล์ของการเปลี่ยนครั้งที่ 2 และ 4 จะไม่แตกต่างไปจากกลุ่มควบคุมเช่นเดียวกัน ทำให้อัตราส่วนของ BA:RIA ในอาหารเลี้ยงเซลล์ทั้งสองครั้งนี้ไม่แตกต่างไปจากกลุ่มควบคุม (1.61 ± 0.2 และ 3.13 ± 0.34 เทียบกับ 1.95 ± 0.07 และ 3.16 ± 0.18 ตามลำดับ) แต่ค่า RIA-FSH ในอาหารเลี้ยงเซลล์ในการเปลี่ยนครั้งที่ 3 จะต่ำกว่ากลุ่มควบคุม 1.5 เท่าจึงทำให้อัตราส่วนของ BA:RIA ในอาหารเลี้ยงเซลล์ของการเปลี่ยนครั้งนี้สูงกว่ากลุ่มควบคุม 1.5 เท่า (3.43 ± 0.16 เทียบกับ 2.65 ± 0.15) รูปที่ 13 และรูปที่ 14 แสดงปริมาณสะสมของฮอร์โมน FSH ในรูปของ BA-FSH

$$\begin{array}{lll}
 BA = 11.15 \pm 0.41 & BA = 9.94 \pm 0.56 & BA = 10.23 \pm 0.36 \\
 RIA = 5.78 \pm 0.36 & RIA = 3.77 \pm 0.15 & RIA = 3.28 \pm 0.21 \\
 BA:RIA = 1.95 \pm 0.07 & BA:RIA = 2.65 \pm 0.19 & BA:RIA = 3.16 \pm 0.18
 \end{array}$$

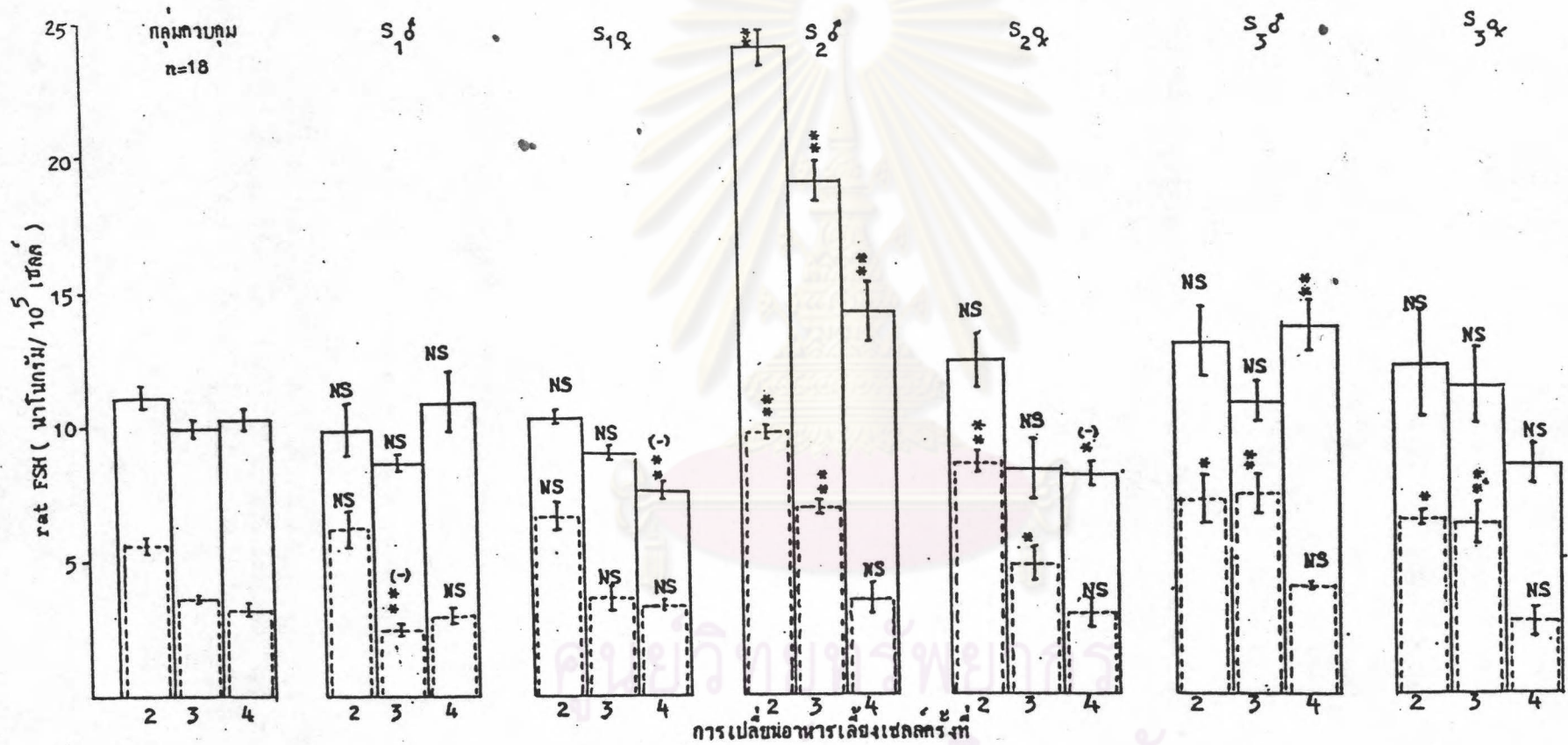


รูปที่ 11 กราฟแสดงไบโอแอกติวิตี (BA) (—) และอิมมูโนแอกติวิตี (RIA) (---) ของฮอร์โมน FSH ของกลุ่มควบคุมในการเติมเสริมถึงแก่ระยะต่างๆจำนวน 6 กลุ่มในแต่ละครั้งของการเปลี่ยนอาหารเลี้ยงเซลล์และค่าที่ได้เป็น $\bar{x} \pm SEM$. (n=3)

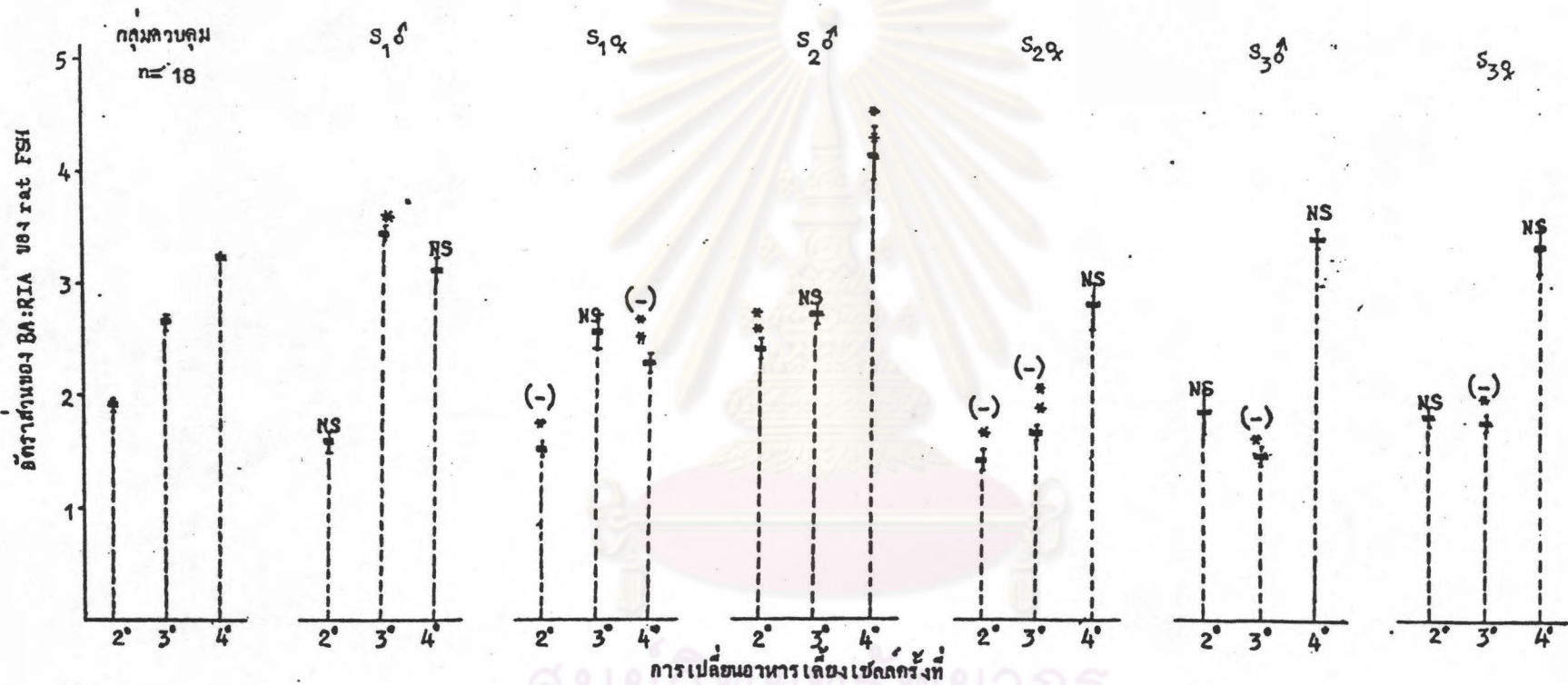


ตารางที่ 7 แสดงค่าไบโอแอคติวิตี (BA) และอิมมูโนแอคติวิตี (RIA) ของฮอร์โมน FSH ตลอดช่วง 72 ชั่วโมงของการเพาะเลี้ยงเซลล์คอมไตส์มองของหนูขาวกับเซรัมถึงสามระยะต่างๆและอัตราส่วนของ BA:RIA ของฮอร์โมน FSH ค่าที่ได้เป็น $\bar{X} \pm \text{SEM.}$ (n = 3) ค่า P ที่ได้มาจาก Duncan's multiple range test เมื่อเทียบกับกลุ่มควบคุม * = P < 0.05, ** = P < 0.01, NS = NOT SIGNIFICANT , (-) = ต่ำกว่ากลุ่มควบคุม

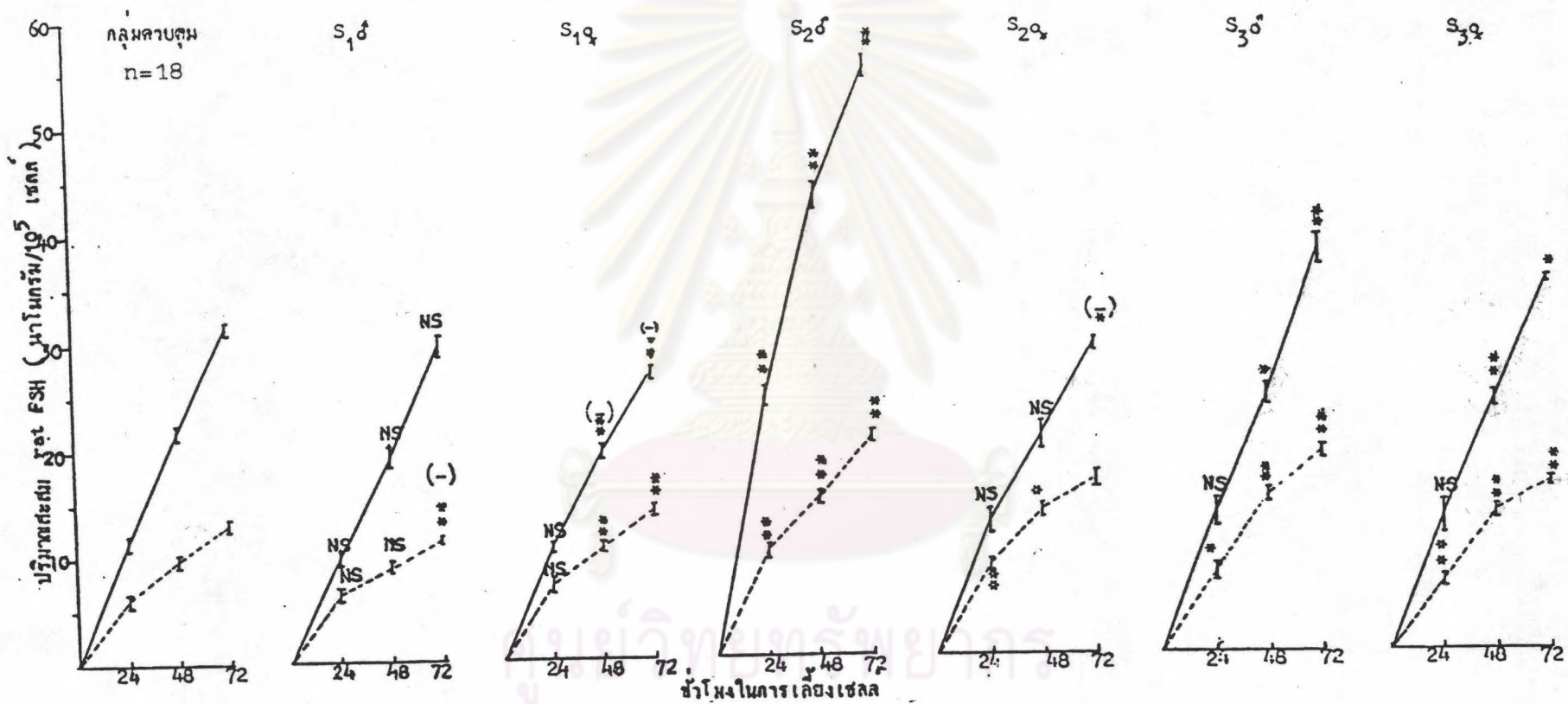
การเปลี่ยนอาหารเลี้ยงเซลล์ครั้งที่		กลุ่มควบคุม n = 18	S ₁ ♂	S ₁ ♀	S ₂ ♂	S ₂ ♀	S ₃ ♂	S ₃ ♀
2	BA.	11.15 ± 0.41	9.93 ± 0.91 ^{NS}	10.22 ± 0.22 ^{NS}	23.80 ± 0.71 ^{**}	12.30 ± 1.16 ^{NS}	12.80 ± 1.22 ^{NS}	12.03 ± 1.90 ^{NS}
	RIA.	5.78 ± 0.36	6.27 ± 0.67 ^{NS}	6.71 ± 0.58 ^{NS}	9.72 ± 0.23 ^{**}	8.49 ± 0.37 ^{**}	7.23 ± 0.91 [*]	6.54 ± 0.29 [*]
	BA:RIA	1.95 ± 0.07	1.61 ± 0.20 ^{NS}	1.54 ± 0.12 ^{(-)*}	2.45 ± 0.12 ^{**}	1.47 ± 0.19 ^{(-)*}	1.87 ± 0.41 ^{NS}	1.82 ± 0.22 ^{NS}
3	BA.	9.94 ± 0.56	8.60 ± 0.31 ^{NS}	9.00 ± 0.20 ^{NS}	18.73 ± 0.71 ^{**}	9.20 ± 1.11 ^{NS}	10.97 ± 0.72 ^{NS}	11.36 ± 1.43 ^{NS}
	RIA.	3.77 ± 0.15	2.52 ± 0.15 ^{(-)**}	3.68 ± 0.58 ^{NS}	6.94 ± 0.20 ^{**}	4.88 ± 0.52 [*]	7.36 ± 0.74 ^{**}	6.38 ± 0.65 ^{**}
	BA:RIA	2.65 ± 0.19	3.43 ± 0.16 [*]	2.55 ± 0.35 ^{NS}	2.71 ± 0.18 ^{NS}	1.67 ± 0.07 ^{(-)**}	1.50 ± 0.05 ^{(-)*}	1.78 ± 0.14 ^{(-)*}
4	BA.	10.23 ± 0.36	10.90 ± 1.13 ^{NS}	7.53 ± 0.34 ^{(-)**}	13.96 ± 1.01 ^{**}	8.17 ± 0.38 ^{(-)*}	13.50 ± 0.93 ^{**}	8.43 ± 0.66 ^{NS}
	RIA.	3.28 ± 0.21	3.49 ± 0.24 ^{NS}	3.27 ± 0.06 ^{NS}	3.58 ± 0.67 ^{NS}	3.07 ± 0.56 ^{NS}	3.98 ± 0.04 ^{NS}	2.67 ± 0.54 ^{NS}
	BA:RIA	3.16 ± 0.18	3.13 ± 0.34 ^{NS}	2.30 ± 0.12 ^{(-)**}	4.06 ± 0.44 [*]	2.81 ± 0.41 ^{NS}	3.38 ± 0.20 ^{NS}	3.33 ± 0.44 ^{NS}



รูปที่ 12 แสดงผลไบโอแอสซัย (BA-FSH) (—) และอิมมูโนแอสซัย (RIA-FSH) (---) ของฮอร์โมน FSH ตลอดช่วง 72 ชั่วโมงในการเพาะเลี้ยงเซลล์ต่อเม็ดสมองของหนูขาวกับเซรัมถึงสามระยะต่างๆ ค่าที่ได้เป็น $\bar{X} \pm SEM$. (n = 3) ค่า P มาจาก Duncan's multiple range test เมื่อเทียบกับกลุ่มควบคุม * = P < 0.05 , ** = P < 0.01 , NS = NOT SIGNIFICANT , (-) = ต่ำกว่ากลุ่มควบคุม



รูปที่ 13 แสดงค่าอัตราส่วน BA:RIA ของฮอร์โมน FSH เนื่องจากผลของเซรัมถึงแฉมระยะต่างๆ ค่าที่ได้เป็น $\bar{X} \pm \text{SEM}$. (n=3) ค่า P จาก Duncan's multiple range test เมื่อเทียบกับกลุ่มควบคุม * = $P < 0.05$, ** = $P < 0.01$, NS = NOT SIGNIFICANT และ (-) = ต่ำกว่ากลุ่มควบคุม



รูปที่ 14 การเปรียบเทียบปริมาณสะสมของค่าไบโอแอกติวิตี (BA) (—) และอิมมูโนแอกติวิตี (RIA) (---) ของฮอร์โมน FSH ตลอดช่วง 72 ชั่วโมงของการเพาะเลี้ยงเซลล์ต่อเม็ดสpermatozoa ของหนูขาวกับผลของเซรัมลิงแสมระยะต่างๆ ค่าที่เป็น $\bar{X} \pm SEM (n=3)$ ค่า P จาก Duncan's multiple range test เมื่อเทียบกับกลุ่มควบคุม * = P < 0.05, ** = P < 0.01, NS = NOT SIGNIFICANT และ (-) = ต่ำกว่ากลุ่มควบคุม

และRIA-FSH โดยค่าปริมาณสะสมของ BA-FSH ในอาหารเลี้ยงเซลล์ของการเปลี่ยนทั้ง 3 ครั้ง จะไม่แตกต่างไปจากกลุ่มควบคุม แต่ปริมาณสะสมของ RIA-FSH ในอาหารเลี้ยงเซลล์ของการเปลี่ยนทั้ง 3 ครั้งจะต่ำกว่ากลุ่มควบคุม

1.3 ปริมาณฮอร์โมน FSH จากการใส่เซรัมลิงแสมเพศเมียระยะ S_1

จากตารางที่ 7 และรูปที่ 12 เมื่อใส่เซรัมลิงแสมเพศเมียระยะ S_1 ลงใน เซลล์ต่อมใต้สมองของหนูขาวพบว่าค่า BA-FSH ในอาหารเลี้ยงเซลล์ของการเปลี่ยนครั้งที่ 2 และ 3 ไม่แตกต่างไปจากกลุ่มควบคุม ค่า RIA-FSH ในอาหารเลี้ยงเซลล์ของการเปลี่ยนครั้งที่ 2 สูงกว่ากลุ่มควบคุมเล็กน้อยแต่ไม่แตกต่างกันอย่างมีนัยสำคัญทางสถิติ จึงทำให้อัตราส่วนของ BA:RIA ในอาหารเลี้ยงเซลล์ครั้งนี้ลดต่ำลง 0.25 เท่าของกลุ่มควบคุม (1.54 ± 0.12 เทียบกับ 1.95 ± 0.07) แต่ค่า RIA-FSH ในอาหารเลี้ยงเซลล์ของการเปลี่ยนครั้งที่ 3 ไม่แตกต่างไปจากกลุ่มควบคุมจึงทำให้อัตราส่วนของ BA:RIA ในอาหารเลี้ยงเซลล์ครั้งนี้ไม่เปลี่ยนไปจากกลุ่มควบคุม (2.55 ± 0.35 เทียบกับ 2.65 ± 0.19) สำหรับในอาหารเลี้ยงเซลล์ของการเปลี่ยนครั้งที่ 4 ค่า BA-FSH จะต่ำกว่ากลุ่มควบคุม 0.25 เท่าแต่ค่า RIA-FSH ไม่แตกต่างจากกลุ่มควบคุมจึงทำให้อัตราส่วนของ BA:RIA ลดต่ำกว่ากลุ่มควบคุม 1.5 เท่า (2.3 ± 0.12 เทียบกับ 3.16 ± 0.18) (รูปที่ 13) และรูปที่ 14 แสดงปริมาณสะสมของฮอร์โมน FSH ในรูปของ BA-FSH และ RIA-FSH ซึ่งปริมาณสะสมของฮอร์โมน FSH ในรูป BA-FSH จะลดต่ำกว่ากลุ่มควบคุมแต่ค่าปริมาณสะสมของฮอร์โมน FSH ในรูป RIA-FSH จะสูงกว่ากลุ่มควบคุมอย่างมีนัยสำคัญทางสถิติ

1.4 ปริมาณฮอร์โมน FSH จากการใส่เซรัมลิงแสมเพศผู้ระยะ S_2

จากตารางที่ 7 และรูปที่ 12 เมื่อใส่เซรัมลิงแสมเพศผู้ระยะ S_2 ลงใน เซลล์ต่อมใต้สมองของหนูขาวพบว่าในอาหารเลี้ยงเซลล์ของการเปลี่ยนครั้งที่ 2 ค่า BA-FSH เพิ่มขึ้น 2.25 เท่าของกลุ่มควบคุม ส่วน RIA-FSH เพิ่มขึ้น 1.75 เท่าของกลุ่มควบคุม ดังนั้นทำให้อัตราส่วน BA:RIA เพิ่มขึ้น 1.25 เท่าของกลุ่มควบคุม (2.45 ± 0.12 เทียบกับ 1.95 ± 0.07) ในอาหารเลี้ยงเซลล์ของการเปลี่ยนครั้งที่ 3 ค่า BA-FSH และ RIA-FSH จะเพิ่มขึ้น 2 เท่าของกลุ่มควบคุมทั้งคู่จึงทำให้อัตราส่วน BA:RIA ไม่เปลี่ยนไปจากกลุ่มควบคุม (2.71 ± 0.18 เทียบกับ 2.65 ± 0.19) และในอาหารเลี้ยงเซลล์ของการเปลี่ยนครั้งที่ 4 จะเพิ่มสูงขึ้น 1.5 เท่าของกลุ่มควบคุม แต่ค่า RIA-FSH ไม่เปลี่ยนไปจากกลุ่มควบคุมจึงทำให้อัตราส่วน BA:RIA เพิ่มขึ้น 1.25 เท่าของกลุ่มควบคุม (4.06 ± 0.44 เทียบกับ 3.16 ± 0.18)

(รูปที่ 13) และในรูปที่ 14 แสดงปริมาณสะสมของฮอร์โมน FSH ในรูปของ BA-FSH และ RIA-FSH ซึ่งพบว่าค่าปริมาณสะสมทั้งค่า BA-FSH และ RIA-FSH จะเพิ่มขึ้นจากกลุ่มควบคุมอย่างมีนัยสำคัญทางสถิติตลอดการเพาะเลี้ยง

1.5 ปริมาณฮอร์โมน FSH จากการใช้เซรัมถึงแสมเพศเมียระยะ S_2

จากตารางที่ 7 และรูปที่ 12 เมื่อใช้เซรัมถึงแสมเพศเมียระยะ S_2 ลงในเซลล์ต่อมใต้สมองของหนูขาวพบว่าค่า BA-FSH ในอาหารเลี้ยงเซลล์ของการเปลี่ยนครั้งที่ 2 ไม่แตกต่างไปจากกลุ่มควบคุม แต่ค่า RIA-FSH จะเพิ่มขึ้นเป็น 1.5 เท่าของกลุ่มควบคุม ทำให้อัตราส่วนของ BA:RIA ลดลงเป็น 0.75 เท่าของกลุ่มควบคุม (1.47 ± 0.19 เทียบกับ 1.95 ± 0.07) ในอาหารเลี้ยงเซลล์ของการเปลี่ยนครั้งที่ 3 ค่า BA-FSH จะไม่เปลี่ยนแปลงไปจากกลุ่มควบคุมแต่ค่า RIA-FSH จะเพิ่มขึ้น 1.5 เท่าของกลุ่มควบคุม ทำให้อัตราส่วนของ BA:RIA ลดลงเป็น 0.6 เท่าของกลุ่มควบคุม (4.88 ± 0.52 เทียบกับ 3.77 ± 0.15) ส่วนในอาหารเลี้ยงเซลล์ของการเปลี่ยนครั้งที่ 4 ค่า BA-FSH จะลดต่ำเป็น 0.8 เท่าของกลุ่มควบคุม ส่วนค่า RIA-FSH ไม่แตกต่างจากกลุ่มควบคุมทำให้อัตราส่วน BA:RIA ไม่แตกต่างไปจากกลุ่มควบคุม (2.81 ± 0.41 เทียบกับ 3.16 ± 0.18) (รูปที่ 13) และในรูปที่ 14 แสดงปริมาณสะสมของฮอร์โมน FSH ในรูปของ BA-FSH และ RIA-FSH ซึ่งค่าปริมาณสะสมของ BA-FSH ในอาหารเลี้ยงเซลล์ตลอดการเพาะเลี้ยงจะต่ำกว่ากลุ่มควบคุมอย่างมีนัยสำคัญทางสถิติ แต่ค่าปริมาณสะสมของ RIA-FSH จะสูงกว่ากลุ่มควบคุมตลอดการเพาะเลี้ยง

1.6 ปริมาณฮอร์โมน FSH จากการใช้เซรัมถึงแสมเพศผู้ระยะ S_3

จากตารางที่ 7 และรูปที่ 12 เมื่อใช้เซรัมถึงแสมเพศผู้ระยะ S_3 ลงในเซลล์ต่อมใต้สมองของหนูขาวพบว่า ในอาหารเลี้ยงเซลล์ของการเปลี่ยนครั้งที่ 2 ค่า BA-FSH จะไม่เพิ่มขึ้นจากกลุ่มควบคุม ส่วนค่า RIA-FSH จะเพิ่มขึ้น 1.3 เท่าของกลุ่มควบคุมทำให้อัตราส่วน BA:RIA ในอาหารเลี้ยงเซลล์ครั้งนี้ไม่แตกต่างไปจากกลุ่มควบคุม (1.87 ± 0.41 เทียบกับ 1.95 ± 0.07) ในอาหารเลี้ยงเซลล์ของการเปลี่ยนครั้งที่ 3 พบว่าค่า BA-FSH ไม่เปลี่ยนแปลงไปจากกลุ่มควบคุมเช่นเดียวกันแต่ค่า RIA-FSH เพิ่มขึ้น 2 เท่าของกลุ่มควบคุม ทำให้อัตราส่วนของ BA:RIA ลดลง 0.5 เท่าของกลุ่มควบคุม ส่วนในอาหารเลี้ยงเซลล์ของการเปลี่ยนครั้งที่ 4 ค่า BA-FSH เพิ่มขึ้นจากกลุ่มควบคุม 1.3 เท่าแต่ค่า RIA-FSH ไม่เปลี่ยนแปลงไปจากกลุ่มควบคุมทำให้อัตราส่วนของ BA:RIA ไม่เปลี่ยนแปลงไปจากกลุ่มควบคุม (3.38

± 0.20 เทียบกับ 3.16 ± 0.18) (รูปที่ 13) ในรูปที่ 14 แสดงปริมาณสะสมของฮอร์โมน FSH ในรูป BA-FSH และ RIA-FSH ซึ่งแสดงว่าปริมาณสะสมทั้งสองรูปจะเพิ่มขึ้นจากกลุ่มควบคุมอย่างมีนัยสำคัญทางสถิติทั้งค่า BA-FSH และ RIA-FSH ตลอดการเพาะเลี้ยง

1.7 ปริมาณฮอร์โมน FSH จากการใส่เซรัมลิงแสมเพศเมียระยะ S₃

จากตารางที่ 7 และรูปที่ 12 เมื่อใส่เซรัมลิงแสมเพศเมียระยะ S₃ ลงในเซลล์ต่อมใต้สมองของหนูขาวพบว่า ในอาหารเลี้ยงเซลล์ของการเปลี่ยนครั้งที่ 2 ค่า BA-FSH ไม่เปลี่ยนแปลงไปจากกลุ่มควบคุมแต่ค่า RIA-FSH เพิ่มขึ้น 1.20 เท่าจากกลุ่มควบคุม ทำให้อัตราส่วน BA:RIA ไม่เปลี่ยนแปลงไปจากกลุ่มควบคุม (1.82 ± 0.22 เทียบกับ 1.95 ± 0.07) ในอาหารเลี้ยงเซลล์ของการเปลี่ยนครั้งที่ 3 ค่า BA-FSH ไม่เปลี่ยนแปลงไปจากกลุ่มควบคุมแต่ค่า RIA-FSH เพิ่มขึ้น 2 เท่าจากกลุ่มควบคุม ทำให้อัตราส่วน BA:RIA ลดลงเป็น 0.5 เท่าของกลุ่มควบคุม (1.78 ± 0.14 เทียบกับ 2.65 ± 0.19) ส่วนในอาหารเลี้ยงเซลล์ของการเปลี่ยนครั้งที่ 4 ทั้งค่า BA-FSH และ RIA-FSH ไม่เปลี่ยนแปลงไปจากกลุ่มควบคุมทำให้อัตราส่วน BA:RIA ก็ไม่เปลี่ยนแปลงไปจากกลุ่มควบคุมเช่นเดียวกัน (3.33 ± 0.44 เทียบกับ 3.16 ± 0.18) (รูปที่ 13) ในรูปที่ 14 แสดงปริมาณสะสมของฮอร์โมน FSH ในรูป BA-FSH และ RIA-FSH ซึ่งค่าปริมาณสะสม BA-FSH และ RIA-FSH เพิ่มสูงขึ้นกว่ากลุ่มควบคุมอย่างมีนัยสำคัญทางสถิติ

การทดลองที่ 2 ผลของ GnRH 10^{-9} M. ต่อการหลั่งฮอร์โมน FSH จากเซลล์ต่อมใต้สมองของหนูขาว

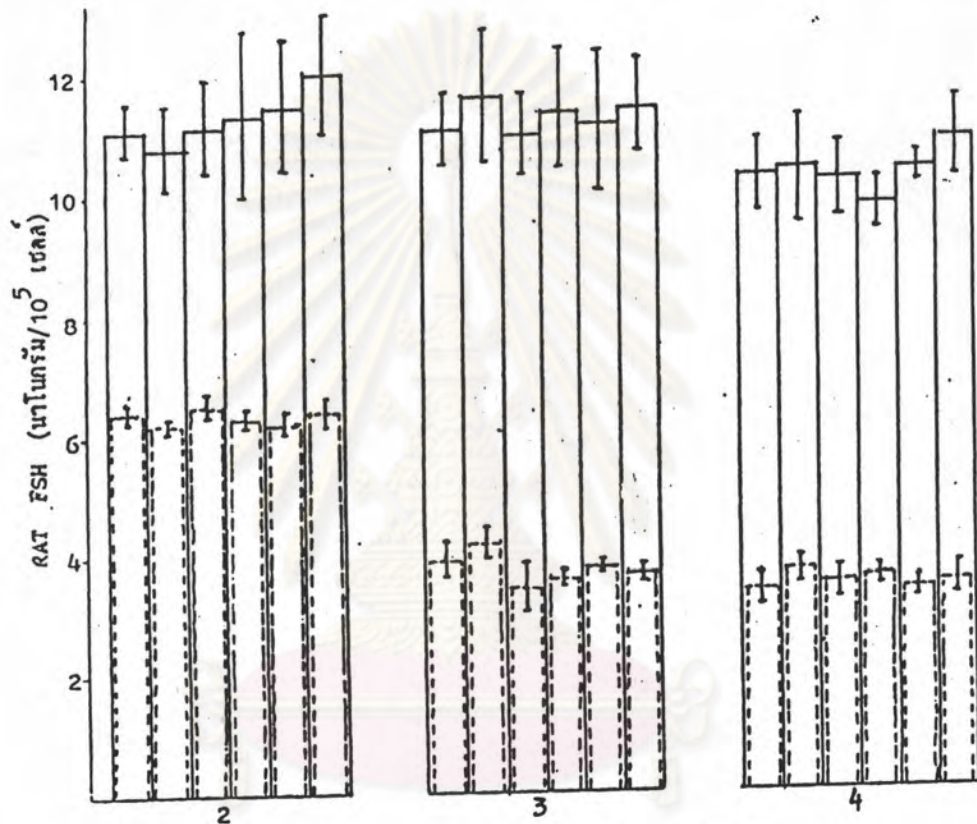
เมื่อใส่ GnRH 10^{-9} M. แทนเซรัม 6% พบว่าค่า BA-FSH และ RIA-FSH ในอาหารเลี้ยงเซลล์ของการเปลี่ยนทั้ง 3 ครั้งจะไม่เปลี่ยนแปลงไปจากกลุ่มควบคุม (ตารางที่ 7, 8 รูปที่ 12, 13, 16 และ 17) จึงทำให้อัตราส่วน BA:RIA ในอาหารเลี้ยงเซลล์ของการเปลี่ยนทั้ง 3 ครั้งไม่แตกต่างกันอย่างมีนัยสำคัญทางสถิติ

การทดลองที่ 3 ผลของ GnRH ร่วมกับเซรัมลิงแสมระยะต่างๆต่อการหลั่งฮอร์โมน FSH จากเซลล์ต่อมใต้สมองของหนูขาว

1. ปริมาณฮอร์โมน FSH เมื่อมี GnRH ในกลุ่มควบคุม

จากรูปที่ 15 เป็นกลุ่มควบคุมแสดงปริมาณฮอร์โมน FSH ที่หลังจากเซลล์ต่อมใต้สมองของหนูขาวที่เติม GnRH พบว่าค่า BA-FSH และ RIA-FSH ของแต่ละการทดลองรวม 6 กลุ่ม

BA = 11.25 ± 0.79 BA = 11.2 ± 0.72 BA = 10.27 ± 0.58
 RIA = 6.2 ± 0.15 RIA = 3.68 ± 0.29 RIA = 3.48 ± 0.18
 BA:RIA = 1.80 ± 0.14 BA:RIA = 3.14 ± 0.42 BA:RIA = 2.95 ± 0.20



การเปลี่ยนอาหารเลี้ยงเซลล์ครั้งที่

รูปที่ 15 กราฟแสดงไบโอแอกติวิตี (BA) (□) และอิมมูโนแอกติวิตี (RIA) (▨) ของฮอร์โมน FSH ของกลุ่มควบคุมที่เติม GnRH 10^{-9} M. ของการเติมเซรัม ลีชเสริมระยะต่างๆ + GnRH จำนวน 6 กลุ่มในแต่ละครั้งของการเปลี่ยนอาหารเลี้ยงเซลล์และค่าที่ได้เป็น $\bar{X} \pm SEM$. (n = 3)

การทดลอง (3 กลุ่มต่อกลุ่มทดลอง) 18 ตัวอย่าง พบว่าค่า BA-FSH และ RIA-FSH ของกลุ่มควบคุมในการทดลองไม่แตกต่างกัน ดังนั้นจึงใช้ค่าเฉลี่ยของกลุ่มควบคุมทั้ง 18 ตัวอย่างเป็นกลุ่มควบคุมของแต่ละการทดลอง ในตารางที่ 8 และรูปที่ 16 พบว่าค่า BA-FSH ค่อนข้างคงที่ในอาหารเลี้ยงเซลล์ของการเปลี่ยนทั้ง 3 ครั้ง ส่วนค่า RIA-FSH นั้นในอาหารเลี้ยงเซลล์ของการเปลี่ยนครั้งที่ 3 และครั้งที่ 4 จะลดต่ำกว่าในอาหารเลี้ยงเซลล์ของการเปลี่ยนครั้งที่ 2 ครั้งหนึ่งจึงทำให้อัตราส่วนของ BA:RIA ในอาหารเลี้ยงเซลล์ครั้งที่ 3 และ 4 ไม่แตกต่างกัน แต่สูงขึ้นในอาหารเลี้ยงเซลล์ของการเปลี่ยนครั้งที่ 2 ($1.8 \pm 0.4, 3.14 \pm 0.42$ และ 2.95 ± 0.2 ตามลำดับ) (รูปที่ 17) และในรูปที่ 18 แสดงปริมาณสะสมของฮอร์โมน FSH ในรูป BA-FSH และ RIA-FSH ของกลุ่มควบคุมสูงกว่าในการทดลองที่ 1 ทั้ง BA-FSH และ RIA-FSH

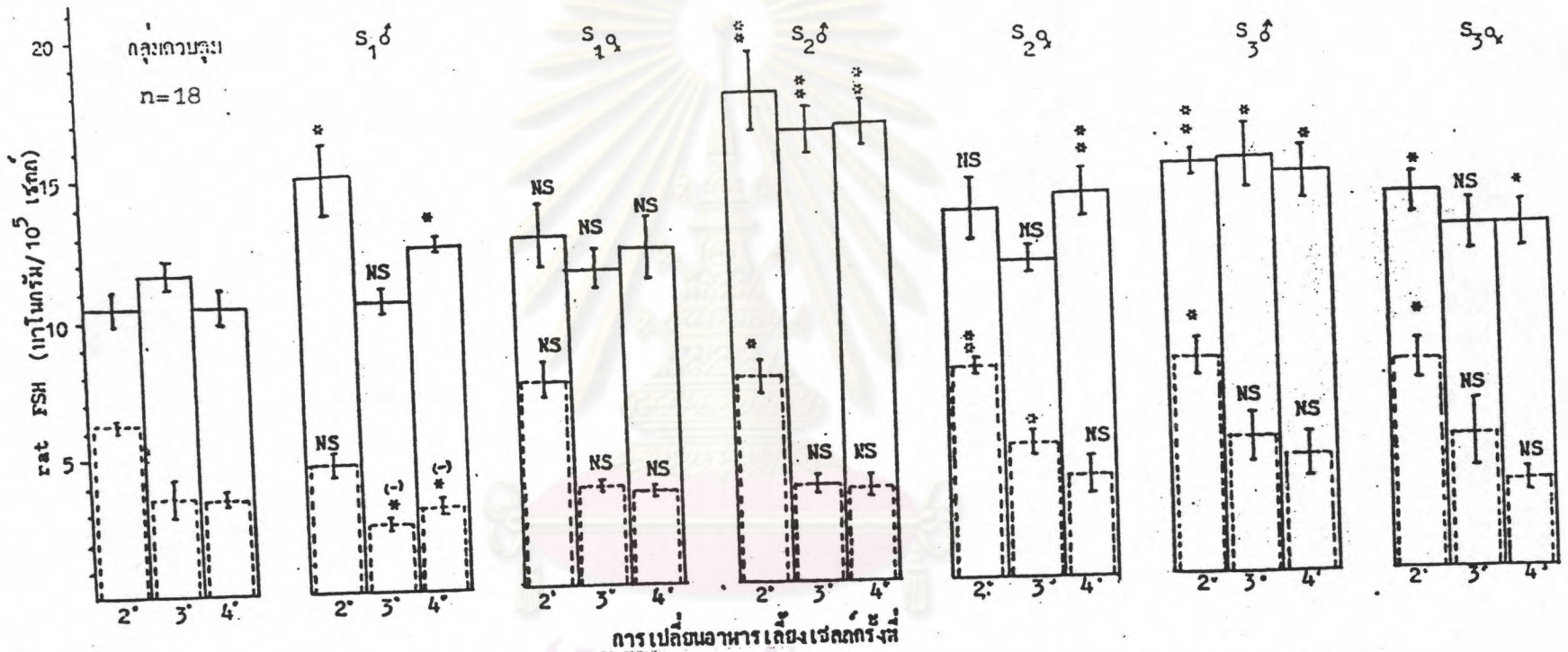
2. ปริมาณฮอร์โมน FSH เมื่อมี GnRH ร่วมกับเซรัมลิงแสมเพศผู้ระยะ S_1

จากตารางที่ 8 และรูปที่ 16 เมื่อใส่เซรัมลิงแสมเพศผู้ระยะ S_1 ลงในเซลล์คอมพิวเตอร์สมองของหนูขาว พบว่าค่า BA-FSH ในอาหารเลี้ยงเซลล์ของการเปลี่ยนครั้งที่ 2 สูงกว่า กลุ่มควบคุม 1.3 เท่า ส่วนค่า RIA-FSH ไม่เปลี่ยนแปลงไปจากกลุ่มควบคุมจึงทำให้อัตราส่วนของ BA:RIA นี้เพิ่มขึ้น 1.3 เท่าของกลุ่มควบคุม (2.25 ± 0.12 เทียบกับ 1.8 ± 0.4) ส่วนในอาหารเลี้ยงเซลล์ของการเปลี่ยนครั้งที่ 3 พบว่าค่า BA-FSH ไม่เปลี่ยนไปจากกลุ่มควบคุม ส่วนค่า RIA-FSH ลดลง 0.5 เท่าของกลุ่มควบคุมทำให้อัตราส่วนของ BA:RIA เพิ่มขึ้น 1.5 เท่าของกลุ่มควบคุม (4.43 ± 0.48 เทียบกับ 3.14 ± 0.42) ส่วนในอาหารเลี้ยงเซลล์ของการเปลี่ยนครั้งที่ 4 พบว่าค่า BA-FSH สูงกว่ากลุ่มควบคุม 1.25 เท่า ส่วนค่า RIA-FSH ลดลงจากกลุ่มควบคุม 0.25 เท่าทำให้อัตราส่วน BA:RIA เพิ่มขึ้นจากกลุ่มควบคุม 1.5 เท่า (4.41 ± 0.44 เทียบกับ 2.95 ± 0.2) (รูปที่ 17) และในรูปที่ 18 แสดงปริมาณสะสมของฮอร์โมน FSH ในรูป BA-FSH และ RIA-FSH ซึ่งพบว่าปริมาณสะสมของฮอร์โมน FSH ในรูป BA-FSH สูงกว่ากลุ่มควบคุมอย่างมีนัยสำคัญตลอดการเพาะเลี้ยง: แต่ RIA-FSH นั้นไม่แตกต่างจากกลุ่มควบคุมใน 48 ช.ม.ของการเพาะเลี้ยงแต่จะลดค่าลงอย่างมีนัยสำคัญทางสถิติเมื่อเพาะเลี้ยงตลอด 72 ช.ม.

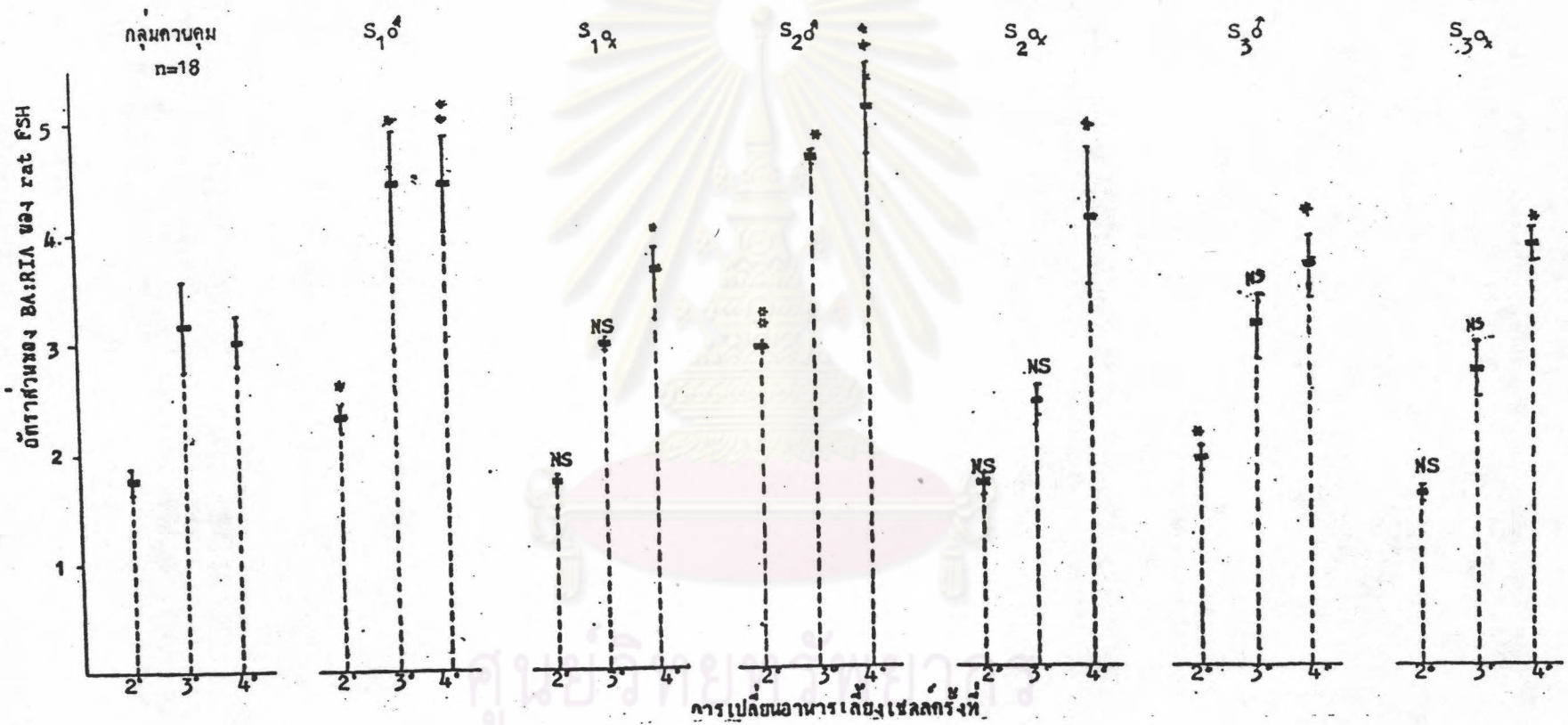
เมื่อเทียบกับการทดลองที่ 1 จะเห็นได้ว่าการเติม GnRH ร่วมกับเซรัมนั้นทำให้ค่า BA-FSH ในอาหารเลี้ยงเซลล์ครั้งที่ 2,3 และ 4 สูงกว่าในกลุ่มที่เติมเซรัมอย่างเดียว

ตารางที่ 8 แสดงค่าไบโอแอสตีวีส (BA) และอิมมูโนแอสตีวีส (RIA) ของฮอร์โมน FSH ตลอดช่วง 72 ชั่วโมงของการเพาะเลี้ยง เซลล์ต่อมใต้สมองของหนูขาวกับ GnRH 10^{-9} M. และเซรัมลิงแสมระยะต่างๆและอัตราส่วนของ BA:RIA ของฮอร์โมน FSH ค่าที่ได้เป็น $\bar{X} \pm SEM$. (n=3) ค่า P ที่ได้มาจาก Duncan's multiple range test เมื่อเทียบกับกลุ่มควบคุม * = $P < 0.05$, ** = $P < 0.01$, NS = NOT SIGNIFICANT และ (-) = ต่ำกว่ากลุ่มควบคุม

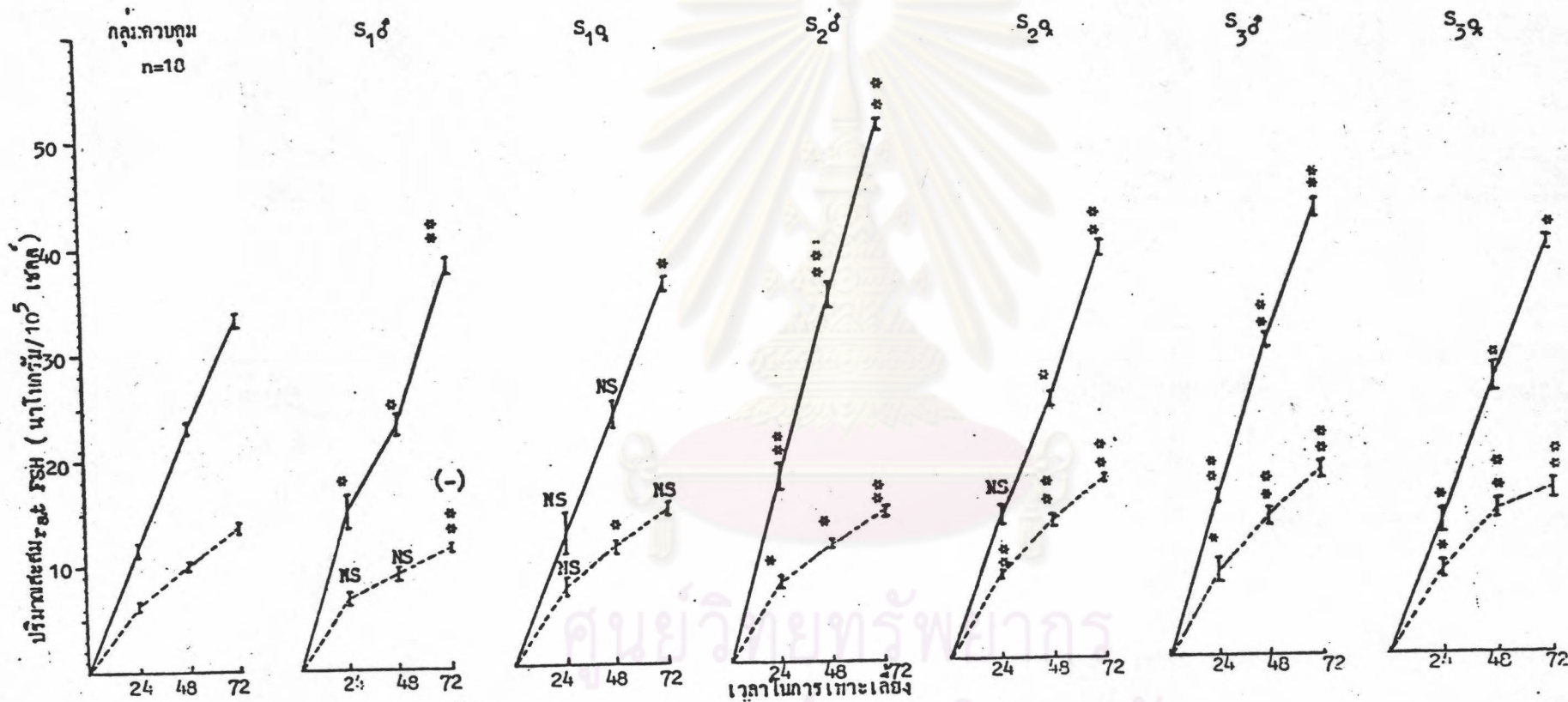
การเปลี่ยนแปลงอาหารเลี้ยง- เซลล์ ครั้งที่	กลุ่มควบคุม n = 18	S ₁ ♂	S ₁ ♀	S ₂ ♂	S ₂ ♀	S ₃ ♂	S ₃ ♀	
2	BA.	11.25 ± 0.79	14.93 ± 1.73*	12.50 ± 1.10 ^{NS}	17.80 ± 1.46**	13.23 ± 1.06 ^{NS}	14.60 ± 0.45**	13.70 ± 0.66*
	RIA.	6.20 ± 0.15	6.60 ± 0.53 ^{NS}	7.23 ± 0.71 ^{NS}	7.18 ± 0.60*	7.67 ± 0.35**	7.77 ± 0.89*	7.54 ± 0.66*
	BA:RIA	1.80 ± 0.14	2.25 ± 0.12*	1.73 ± 0.07 ^{NS}	2.48 ± 0.05**	1.73 ± 0.12 ^{NS}	1.91 ± 0.14 ^{NS}	1.86 ± 0.06 ^{NS}
3	BA.	11.20 ± 0.72	10.43 ± 0.47 ^{NS}	11.30 ± 0.61 ^{NS}	16.17 ± 0.98**	11.40 ± 0.55 ^{NS}	14.76 ± 0.05*	12.40 ± 0.95 ^{NS}
	RIA.	3.68 ± 0.29	2.39 ± 0.17 ^{(-)*}	3.74 ± 0.13 ^{NS}	3.52 ± 0.23 ^{NS}	4.84 ± 0.53*	4.59 ± 0.97 ^{NS}	4.51 ± 0.84 ^{NS}
	BA:RIA	3.14 ± 0.42	4.43 ± 0.48*	3.03 ± 0.05 ^{NS}	4.59 ± 0.05*	2.38 ± 0.15 ^{NS}	3.31 ± 0.26 ^{NS}	2.79 ± 0.27 ^{NS}
4	BA.	10.27 ± 0.58	12.30 ± 0.25*	12.20 ± 1.12 ^{NS}	16.53 ± 0.94**	13.80 ± 0.72**	13.33 ± 0.96*	12.50 ± 0.87*
	RIA.	3.48 ± 0.18	2.84 ± 0.27 ^{(-)*}	3.34 ± 0.21 ^{NS}	3.32 ± 0.43 ^{NS}	3.73 ± 0.90 ^{NS}	3.79 ± 0.56 ^{NS}	8.30 ± 0.36 ^{NS}
	BA:RIA	2.95 ± 0.20	4.41 ± 0.44**	3.65 ± 0.20*	5.07 ± 0.41**	4.01 ± 0.65*	3.62 ± 0.32*	3.83 ± 0.17*



รูปที่ 16 แสดงผลไบโอแอสซัย (BA-FSH) (—) และอิมมูโนแอสซัย (RIA-FSH) (---) ของฮอร์โมน FSH ตลอดช่วง 72 ชั่วโมงในการเพาะเลี้ยงเซลล์ต่อมใต้สมองของหนูขาวกับ GnRH 10⁻⁹ M. และเซรัมถึงแสมระยะต่างๆ ค่าที่ได้เป็น $\bar{X} \pm \text{SEM} (n=3)$ ค่า P มาจาก Duncan's multiple range test เมื่อเทียบกับกลุ่มควบคุม * = P < 0.05 , ** = P < 0.01 , NS = NOT SIGNIFICANT และ (-) = ต่ำกว่ากลุ่มควบคุม



รูปที่ 17 แสดงค่าอัตราส่วน BA:RIA ของฮอร์โมน FSH เนื่องจากผลของ GnRH 10^{-9} M. ร่วมกับเซโรโทนินแต่ละระยะต่างๆ ค่าที่ได้เป็น $\bar{X} \pm \text{SEM. (n=3)}$ ค่า P มาจาก Duncan's multiple range test เมื่อเทียบกับกลุ่มควบคุม * = $P < 0.05$, ** = $P < 0.01$, NS = NOT SIGNIFICANT และ (-) = ต่ำกว่ากลุ่มควบคุม



รูปที่ 18 การเปรียบเทียบปริมาณสะสมค่าไบโอแอกติวิตี (BA) (—) และอิมมูโนแอกติวิตี (RIA) (---) ของฮอร์โมน FSH ตลอดช่วง 72 ชั่วโมงของการเพาะเลี้ยงเซลล์ต่อมใต้สมองของหนูขาวกับ GnRH 10⁻⁹ M. และเซรัมลิงแสมระยะต่างๆ ค่าที่ได้เป็น $\bar{X} \pm \text{SEM}$ (n = 3) ค่า P ที่ได้มาจาก Duncan's multiple range test เมื่อเทียบกับกลุ่มควบคุม * = P < 0.05 , ** = P < 0.01 , NS = NOT SIGNIFICANT และ (-) = ต่ำกว่ากลุ่มควบคุม

ส่วนค่า RIA-FSH ไม่แตกต่างกัน ดังนั้นจึงทำให้อัตราส่วน BA:RIA ของการเติม GnRH รวมกับเซรั่มถึงสามเพศผู้ระยะ S_1 สูงกว่าการเติมเซรั่มอย่างเดียวในอาหารเลี้ยงเซลล์ของการเปลี่ยนทิ้ง 3 ครั้ง (1.61 ± 0.2 , 3.43 ± 0.16 และ 3.13 ± 0.34 เทียบกับ 2.25 ± 0.12 , 4.43 ± 0.48 และ 4.41 ± 0.44) (ตารางที่ 7,8)

3. ปริมาณฮอร์โมน FSH เมื่อมี GnRH รวมกับเซรั่มถึงสามเพศเมียระยะ S_1

จากตารางที่ 8 และรูปที่ 16 เมื่อใส่เซรั่มถึงสามเพศเมียระยะ S_1 ลงในเซลล์ต่อมใต้สมองของหนูขาว พบว่าในอาหารเลี้ยงเซลล์ของการเปลี่ยนครั้งที่ 2 และครั้งที่ 3 ค่า BA-FSH และ RIA-FSH ไม่เปลี่ยนแปลงไปจากกลุ่มควบคุมทำให้อัตราส่วนของ BA:RIA ทิ้งสองครั้ง ไม่เปลี่ยนแปลงไปจากกลุ่มควบคุม (1.73 ± 0.07 และ 3.03 ± 0.05 เทียบกับ 1.8 ± 0.14 และ 3.14 ± 0.42 ตามลำดับ) ส่วนในอาหารเลี้ยงเซลล์ครั้งที่ 4 ถึงแม้ค่า BA-FSH และ RIA-FSH ไม่เปลี่ยนแปลงไปจากกลุ่มควบคุมแต่อัตราส่วน BA:RIA เพิ่มขึ้น 1.2 เท่าของกลุ่มควบคุม (3.65 ± 0.24 เทียบกับ 2.95 ± 0.2) (รูปที่ 17) และในรูปที่ 18 แสดงปริมาณสะสมของฮอร์โมนในรูป BA-FSH และ RIA-FSH ซึ่งพบว่าในปริมาณสะสมนี้ ค่า BA-FSH สูงเพิ่มขึ้นกว่ากลุ่มควบคุมอย่างมีนัยสำคัญทางสถิติ ซึ่งค่า absolute BA-FSH ไม่เพิ่มขึ้นส่วนค่า RIA-FSH แตกต่างจากกลุ่มควบคุมเช่นเดียวกับค่า absolute

เมื่อนำมาเทียบกับการทดลองที่ 1 เห็นได้ว่าการเติม GnRH รวมกับเซรั่มนั้นจะทำให้อัตราส่วนของ BA:RIA เพิ่มมากขึ้นมากกว่าที่เติมเซรั่มอย่างเดียวในอาหารเลี้ยงเซลล์ทิ้ง 3 ระยะ (1.73 ± 0.07 , 3.03 ± 0.05 และ 3.65 ± 0.24 เทียบกับ 1.54 ± 0.12 , 2.55 ± 0.35 และ 2.3 ± 0.12)

4. ปริมาณฮอร์โมน FSH เมื่อมี GnRH รวมกับเซรั่มถึงสามเพศผู้ระยะ S_2

จากตารางที่ 8 และรูปที่ 16 เมื่อใส่เซรั่มถึงสามเพศผู้ระยะ S_2 ลงในเซลล์ต่อมใต้สมองของหนูขาว พบว่าในอาหารเลี้ยงเซลล์ของการเปลี่ยนครั้งที่ 2 ค่า BA-FSH เพิ่มขึ้น 1.5 เท่าของกลุ่มควบคุม ในขณะที่เทียบกับค่า RIA-FSH เพิ่มขึ้นเพียง 1.1 เท่าของกลุ่มควบคุม ดังนั้นจึงทำให้อัตราส่วนของ BA:RIA ระยะนี้เปลี่ยนแปลงเพิ่มขึ้น 1.25 เท่าของกลุ่มควบคุม (2.48 ± 0.05 เทียบกับ 1.8 ± 0.14) ส่วนในอาหารเลี้ยงเซลล์ของการเปลี่ยนครั้งที่ 3 และ 4 ค่า BA-FSH เพิ่มขึ้น 1.5 เท่าของกลุ่มควบคุม ในขณะที่เทียบกับค่า RIA-FSH

ไม่เปลี่ยนแปลงไปจากกลุ่มควบคุม ดังนั้นอัตราส่วนของ BA:RIA ทั้ง 2 ระยะนี้จะเปลี่ยนแปลงเพิ่มขึ้น 1.5 เท่าของกลุ่มควบคุม (4.59 ± 0.05 และ 5.07 ± 0.41 เทียบกับ 3.14 ± 0.42 และ 2.95 ± 0.2) (รูปที่ 17) และในรูปที่ 18 แสดงปริมาณสะสมของฮอร์โมน FSH ในรูป BA-FSH และ RIA-FSH ซึ่งพบว่าในปริมาณสะสมนี้หึ่งค่า BA-FSH และค่า RIA-FSH เพิ่มสูงขึ้นกว่ากลุ่มควบคุมอย่างมีนัยสำคัญทางสถิติตลอดการเพาะเลี้ยง ซึ่งต่างจากค่า absolute ของ RIA-FSH ในอาหารเลี้ยงเซลล์ของการเปลี่ยนครั้งที่ 3 และ 4 ไม่แตกต่างไปจากกลุ่มควบคุม

เมื่อนำมาเปรียบเทียบกับการทดลองที่ 1 เห็นได้ว่าการเติม GnRH ร่วมกับเซรัมระยะนี้ทำให้อัตราส่วนของ BA:RIA เพิ่มขึ้นมากกว่าที่เติมเซรัมเพียงอย่างเดียว (2.48 ± 0.05 , 4.59 ± 0.03 และ 5.07 ± 0.41 เทียบกับ 2.45 ± 0.12 , 2.71 ± 0.13 และ 4.06 ± 0.44 ตามลำดับ)

5. ปริมาณฮอร์โมน FSH เมื่อมี GnRH ร่วมกับเซรัมถึงสัปดาห์ระยะ S₂

จากตารางที่ 8 และรูปที่ 16 เมื่อใส่เซรัมถึงสัปดาห์ระยะ S₂ ลงในเซลล์ต่อมใต้สมองของหนูขาว พบว่าในอาหารเลี้ยงเซลล์ของการเปลี่ยนครั้งที่ 2 และ 3 ค่า BA-FSH ไม่แตกต่างจากกลุ่มควบคุมแต่ค่า RIA-FSH เพิ่มจากกลุ่มควบคุมเพียงเล็กน้อยคือ 1.2 เท่าของกลุ่มควบคุมจึงทำให้อัตราส่วนของ BA:RIA ทั้ง 2 ระยะนี้ไม่เปลี่ยนแปลงไปจากกลุ่มควบคุม (1.73 ± 0.12 และ 2.38 ± 0.15 เทียบกับ 1.8 ± 0.14 และ 3.14 ± 0.42 ตามลำดับ) ส่วนในอาหารเลี้ยงเซลล์ของการเปลี่ยนครั้งที่ 4 ค่า BA-FSH เพิ่มขึ้น 1.3 เท่าของกลุ่มควบคุม ส่วนค่า RIA-FSH ไม่แตกต่างไปจากกลุ่มควบคุมทำให้อัตราส่วนของ BA:RIA ในระยะนี้เพิ่มขึ้น 1.5 เท่าของกลุ่มควบคุม (4.01 ± 0.65 เทียบกับ 2.95 ± 0.2) (รูปที่ 17) และในรูปที่ 18 แสดงปริมาณสะสมของฮอร์โมน FSH ในรูป BA-FSH และ RIA-FSH ซึ่งพบว่าหึ่งค่า BA-FSH และ RIA-FSH เพิ่มสูงกว่ากลุ่มควบคุมตลอดระยะเวลาการเพาะเลี้ยง ซึ่งค่า absolute ของค่า BA-FSH ในอาหารเลี้ยงเซลล์ระยะที่ 2 และ 3 ส่วนค่า absolute ของค่า RIA-FSH ในอาหารเลี้ยงเซลล์ระยะที่ 4 ไม่แตกต่างจากกลุ่มควบคุม

เมื่อนำมาเปรียบเทียบกับการทดลองที่ 1 เห็นได้ว่าการเติม GnRH ร่วมกับเซรัมระยะนี้ทำให้อัตราส่วนของ BA:RIA เพิ่มขึ้นกว่าที่เติมเซรัมเพียงอย่างเดียวในอาหารเลี้ยงเซลล์ ทั้ง 3 ระยะ (1.73 ± 0.12 , 2.38 ± 0.15 และ 4.01 ± 0.65 เทียบกับ 1.47 ± 0.19 , 1.67 ± 0.07 และ 2.81 ± 0.41 ตามลำดับ)

6. ปริมาณฮอร์โมน FSH เมื่อมี GnRH ร่วมกับเซรั่มลิงแสมเพศผู้ระยะ S₃

จากตารางที่ 8 และรูปที่ 16 เมื่อใส่เซรั่มลิงแสมเพศผู้ระยะ S₃ ลงในเซลล์ต่อมใต้สมองของหนูขาว พบว่าในอาหารเลี้ยงเซลล์ของการเปลี่ยนครั้งที่ 2 ค่า BA-FSH เพิ่มขึ้น 1.2 เท่าของกลุ่มควบคุมและค่า RIA-FSH ก็เพิ่มขึ้น 1.1 เท่าของกลุ่มควบคุมเช่นเดียวกัน จึงทำให้อัตราส่วนของ BA:RIA ไม่เปลี่ยนไปจากกลุ่มควบคุม (1.91 ± 0.14 เทียบกับ 1.8 ± 0.14) ในอาหารเลี้ยงเซลล์ของการเปลี่ยนครั้งที่ 3 ค่า BA-FSH เพิ่มขึ้น 1.15 เท่าของกลุ่มควบคุมและค่า RIA-FSH ไม่เปลี่ยนแปลงจากกลุ่มควบคุมทำให้อัตราส่วนของ BA:RIA ไม่เปลี่ยนแปลงจากกลุ่มควบคุมเช่นเดียวกัน (3.31 ± 0.26 เทียบกับ 3.14 ± 0.42) ส่วนในอาหารเลี้ยงเซลล์ครั้งที่ 4 ค่า BA-FSH เพิ่มขึ้น 1.4 เท่าของกลุ่มควบคุมส่วนค่า RIA-FSH ไม่เปลี่ยนแปลงไปจากกลุ่มควบคุม ทำให้อัตราส่วนของ BA:RIA เพิ่มขึ้นเป็น 1.25 เท่าของกลุ่มควบคุม (3.62 ± 0.32 เทียบกับ 2.95 ± 0.2) (รูปที่ 17) และในรูปที่ 18 แสดงปริมาณสะสมของฮอร์โมน FSH ในรูป BA-FSH และ RIA-FSH ซึ่งพบว่าค่าปริมาณสะสมทั้ง BA-FSH และ RIA-FSH สูงกว่ากลุ่มควบคุมอย่างมีนัยสำคัญตลอดระยะเวลาของการเพาะเลี้ยงทั้งที่ค่า RIA-FSH ในอาหารเลี้ยงเซลล์ของครั้งที่ 3 และ 4 ที่เป็นค่า absolute ไม่แตกต่างไปจากกลุ่มควบคุม

เมื่อเทียบกับผลการทดลองที่ 1 พบว่าอัตราส่วนของ BA:RIA ของการเติม GnRH ร่วมกับเซรั่มในอาหารเลี้ยงเซลล์ของการเปลี่ยนครั้งที่ 2 และ 4 ไม่แตกต่างจากการเติมเซรั่มอย่างเดียว (1.91 ± 0.14 และ 3.62 ± 0.32 เทียบกับ 1.87 ± 0.41 และ 3.38 ± 0.20) แต่ในอาหารเลี้ยงเซลล์ของการเปลี่ยนครั้งที่ 3 แตกต่างจากการเติมเซรั่มเพียงอย่างเดียว (3.31 ± 0.26 เทียบกับ 1.5 ± 0.05)

7. ปริมาณฮอร์โมน FSH เมื่อมี GnRH ร่วมกับเซรั่มลิงแสมเพศเมียระยะ S₃

จากตารางที่ 8 และรูปที่ 16 เมื่อใส่เซรั่มลิงแสมเพศเมียระยะ S₃ ลงในเซลล์ต่อมใต้สมองของหนูขาว พบว่าในอาหารเลี้ยงเซลล์ของการเปลี่ยนครั้งที่ 2 ค่า BA-FSH ไม่แตกต่างไปจากกลุ่มควบคุมแต่ค่า RIA-FSH เพิ่มขึ้น 1.1 เท่าของกลุ่มควบคุมทำให้อัตราส่วนของ BA:RIA หน้านี้ไม่เปลี่ยนแปลงไปจากกลุ่มควบคุม (1.86 ± 0.06 เทียบกับ 1.80 ± 0.14) ในอาหารเลี้ยงเซลล์ของการเปลี่ยนครั้งที่ 3 ค่า BA-FSH และ RIA-FSH ไม่แตกต่างไปจากกลุ่มควบคุมทำให้อัตราส่วนของ BA:RIA ไม่ต่างไปจากกลุ่มควบคุมเช่นเดียวกัน (2.79 ± 0.27 เทียบกับ 3.14 ± 0.42) และในอาหารเลี้ยงเซลล์ของการเปลี่ยนครั้งที่ 4 ค่า BA-FSH เพิ่มขึ้น

สูงขึ้น 1.2 เท่าของกลุ่มควบคุมแต่ค่า RIA-FSH ไม่ต่างไปจากกลุ่มควบคุมทำให้อัตราส่วนของ BA:RIA เปลี่ยนแปลงเพิ่มขึ้น 1.35 เท่าของกลุ่มควบคุม (3.83 ± 0.17 เทียบกับ 2.95 ± 0.2) (รูปที่ 17) และในรูปที่ 18 แสดงปริมาณสะสมของฮอร์โมน FSH ในรูป BA-FSH และ RIA-FSH ซึ่งพบว่าค่าปริมาณสะสมของทั้ง BA-FSH และ RIA-FSH สูงกว่ากลุ่มควบคุมตลอดระยะเวลาการเพาะเลี้ยง ทั้งๆที่ค่า BA-FSH absolute ในอาหารเลี้ยงเซลล์ของการเปลี่ยนครั้งที่ 3 และค่า RIA-FSH absolute ในอาหารเลี้ยงเซลล์ของการเปลี่ยนครั้งที่ 3 และ 4 ไม่แตกต่างไปจากกลุ่มควบคุม

เมื่อนำมาเทียบกับการทดลองที่ 1 พบว่าอัตราส่วน BA:RIA ของการเติม GnRH ร่วมกับเซรัมในอาหารเลี้ยงเซลล์ของการเปลี่ยนครั้งที่ 2 และ 4 ไม่แตกต่างจากการเติมเซรัมอย่างเดียว (1.86 ± 0.06 และ 3.83 ± 0.17 เทียบกับ 1.82 ± 0.22 และ 3.33 ± 0.44) แต่อัตราส่วนของ BA:RIA ในอาหารเลี้ยงเซลล์ของการเปลี่ยนครั้งที่ 3 แตกต่างจากการเติมเซรัมอย่างเดียว (2.79 ± 0.27 เทียบกับ 1.78 ± 0.14)

การทดลองที่ 4 ผลของเซรัมที่ผ่านกระบวนการไลออลิซิสต่อสารหลังฮอร์โมน FSH

จากผลการทดลองที่ 1 และ 3 พบว่าเซรัมถึงแก่ระยะ S_2 ตัวผู้มีผลไปเพิ่มค่า BA-FSH และ RIA-FSH อย่างเด่นชัด ดังนั้นจึงนำเซรัมถึงแก่ระยะ S_2 มาทำไลออลิซิสผ่าน dialysis tubing ที่มี mole. wt. cut off เท่ากับ 12,000 คาลตันเป็นส่วนไลออลิเสท (ส่วนที่มีน้ำหนักโมเลกุลต่ำ) และส่วน นอน-ไลออลิเสท (ส่วนที่มีน้ำหนักโมเลกุลสูง) แล้วดำเนินการเหมือนการทดลองที่ 1 โดยใช้ 6% ไลออลิเสท และ นอน-ไลออลิเสท แทนเซรัมในการทดลอง

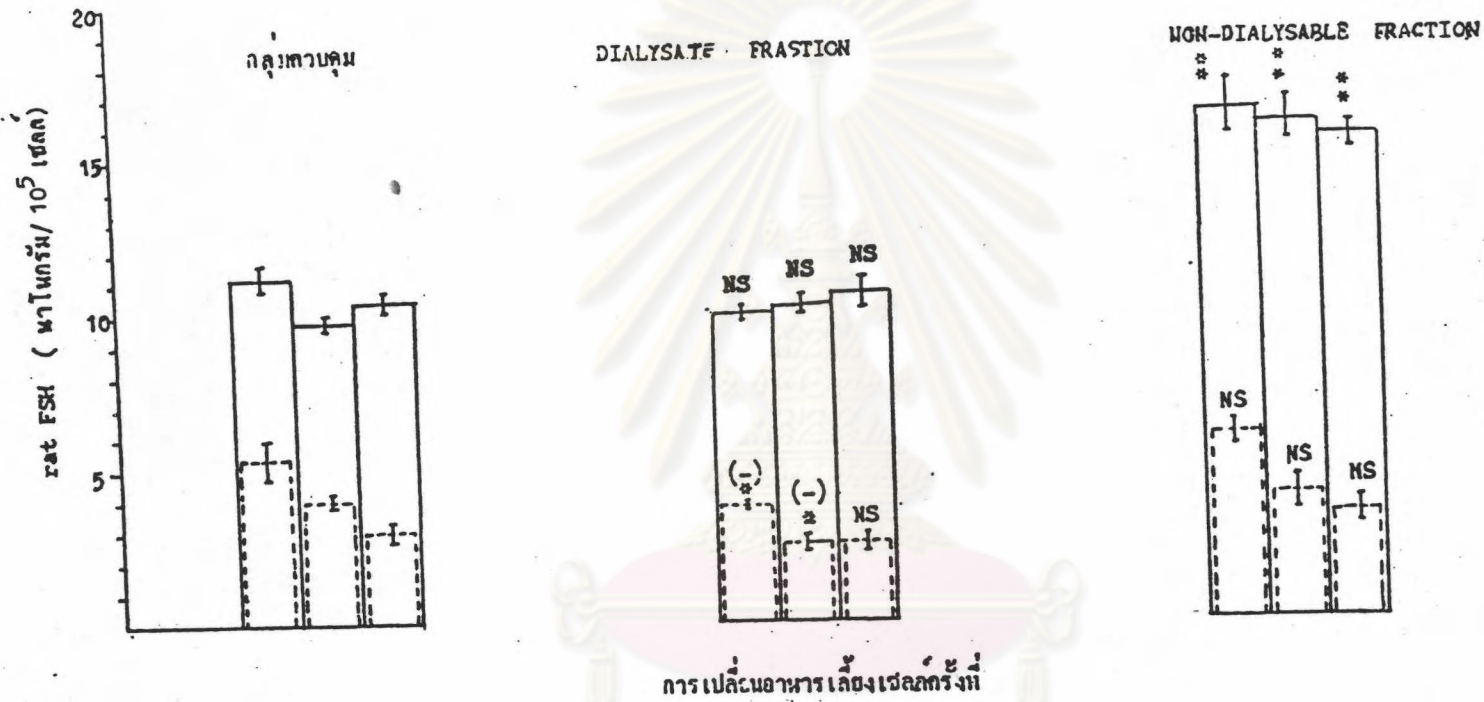
1. ปริมาณสเตอรอยด์ที่พบในส่วนไลออลิเสทและส่วนนอน-ไลออลิเสท

จากตารางที่ 10 เมื่อนำเซรัมถึงแก่ระยะ S_2 มาทำไลออลิซิส พบว่าส่วนไลออลิเสท (ส่วนที่มีโมเลกุลต่ำ) มีเอสโทสเตอรอน 14.4×10^{-15} M./อาหารเลี้ยงเซลล์ 2 มล. และส่วน นอน-ไลออลิเสท (ส่วนที่มีโมเลกุลสูง) มีเอสโทสเตอรอน 153.6×10^{-15} M./อาหารเลี้ยงเซลล์ 2 มล. และตารางที่ 10 แสดงจำนวนสเตอรอยด์ที่มีอยู่ในเซรัมระยะต่างๆที่ใช้ในการทดลอง

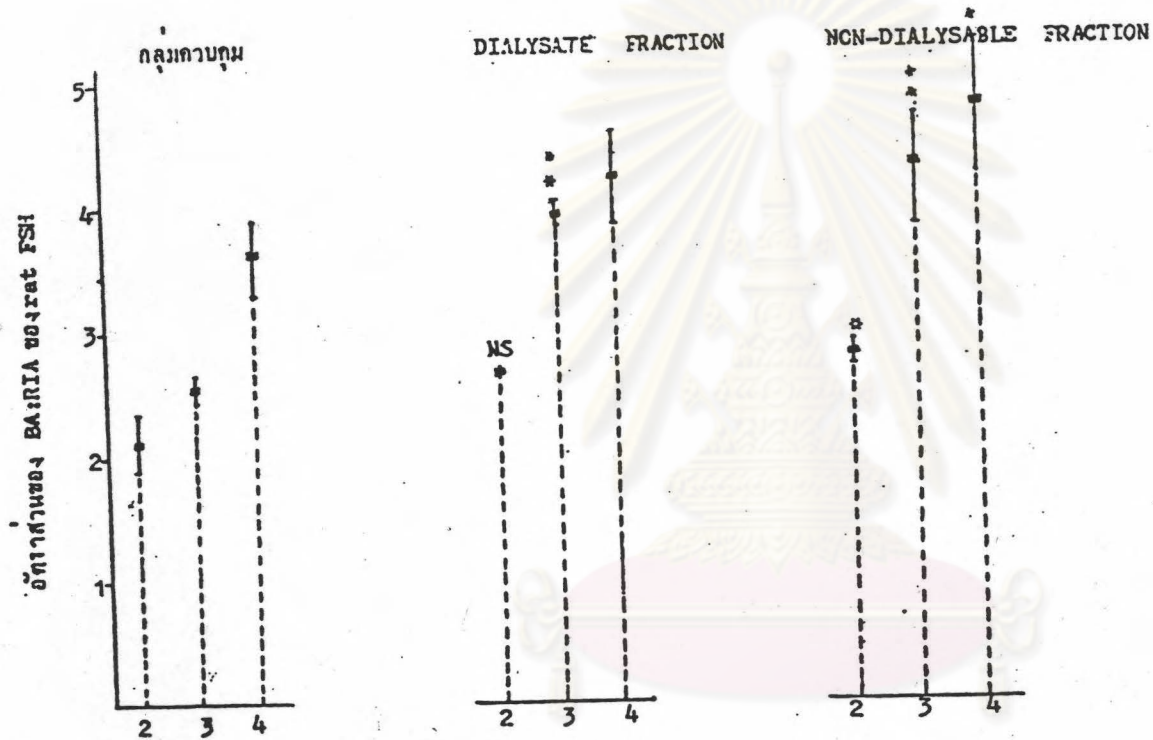
ตารางที่ 9 ผลของส่วนไอโคไลสเตและนอน-ไอโคไลสเตของเซรัมถึงแสมระยะ S₂ เพศผู้ต่อการหลั่งฮอร์โมนFSH จากเซลล์ต่อมใต้สมองของหนูขาว (นก./ 10⁵ เซลล์) ค่าที่ได้เป็น $\bar{X} \pm SEM$. (n = 3) ค่าP หาได้จาก Duncan's multiple range test เมื่อเทียบกับกลุ่มควบคุม * = P < 0.05 ** = P < 0.01, NS = NOT SIGNIFICANT และ (-) = ต่ำกว่ากลุ่มควบคุม

การเปลี่ยนอาหาร ผู้เลี้ยงเซลล์ ครั้งที่	กลุ่มควบคุม	DIALYSATE	NON-DIALYSABLE FRACTION	
2	BA.	11.17 \pm 0.37	10.00 \pm 0.35 ^{NS}	16.53 \pm 0.90 ^{**}
	RIA.	5.37 \pm 0.77	3.89 \pm 0.13 ^{(-)*}	5.90 \pm 0.50 ^{NS}
	BA:RIA	2.15 \pm 0.26	2.57 \pm 0.02 ^{NS}	2.82 \pm 0.11 [*]
3	BA.	9.80 \pm 0.23	10.30 \pm 0.40 ^{NS}	16.00 \pm 0.78 ^{**}
	RIA.	3.93 \pm 0.26	2.64 \pm 0.16 ^{(-)**}	3.87 \pm 0.62 ^{NS}
	BA:RIA	2.51 \pm 0.10	3.91 \pm 0.12 ^{**}	4.27 \pm 0.44 ^{**}
4	BA.	10.47 \pm 0.38	10.60 \pm 0.49 ^{NS}	15.60 \pm 0.47 ^{**}
	RIA.	2.99 \pm 0.33	2.59 \pm 0.58 ^{NS}	3.35 \pm 0.52 ^{NS}
	BA:RIA	3.56 \pm 0.28	4.20 \pm 0.38 ^{NS}	4.84 \pm 0.59 [*]

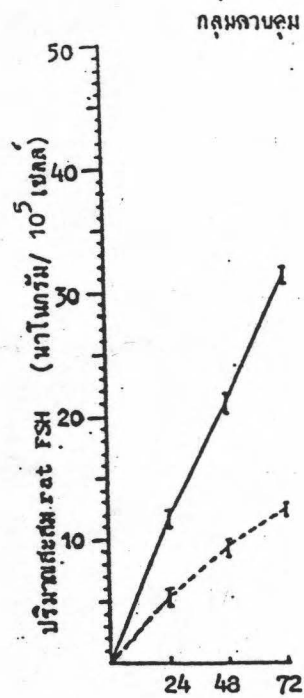
จุฬาลงกรณ์มหาวิทยาลัย



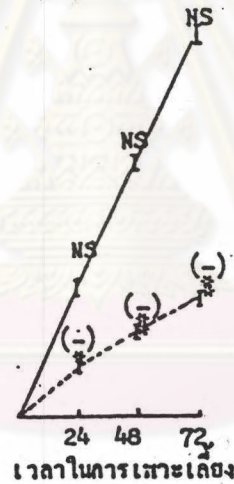
รูปที่ 19 ผลของส่วนโคเลสเตอรอลและนอน-โคเลสเตอรอลของเซรัมถึงสามเพศผู้ระยะ S₂ ต่อการหลั่งฮอร์โมน FSH ในรูปของไบโอแอกติวิตี (BA-FSH) (▭) และอิมมูโนแอกติวิตี (RIA-FSH) (---) ตลอด 72 ชั่วโมงของการเพาะเลี้ยง ค่าที่ได้เป็น $\bar{X} \pm \text{SEM}$. (n=3) ค่า P ที่ได้มาจาก Duncan's multiple range test เมื่อเทียบกับกลุ่มควบคุม * = P < 0.05, ** = P < 0.01, NS = NOT SIGNIFICANT และ (-) = ต่ำกว่ากลุ่มควบคุม



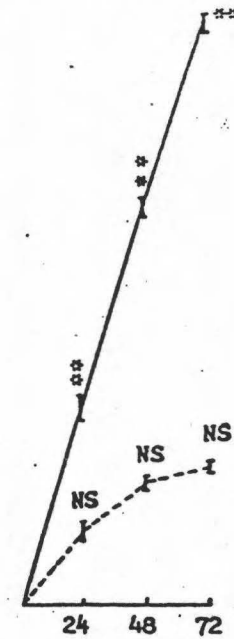
รูปที่ 20 แสดงอัตราส่วน BA:RIA ของฮอร์โมน FSH จากผลของส่วนไตอะโลสเตอโรนและนอนโค-อะโลสเตอโรนของเซรัมถึงสามเพศผู้ ระยะ S₂ เมื่อเปรียบเทียบกับกลุ่มควบคุม ค่าที่ได้เป็น $\bar{X} \pm \text{SEM} (n = 3)$ ค่า P ที่ได้มาจาก Duncan's multiple range test เมื่อเทียบกับกลุ่มควบคุม * = P < 0.05, ** = P < 0.01, NS = NOT SIGNIFICANT และ (-) = ต่ำกว่ากลุ่มควบคุม



DIALYSATE FRACTION



NON-DIALYSABLE FRACTION



รูปที่ 21 ผลของส่วนโคอะโลสเตและนอน-โคอะโลสเตของเซรัมลิงแสมเพศผู้ระยะ S₂ ต่อปริมาณสัตว์ของไบโอแอสตีวิตี (BA) (—) และอิมมูโนแอสตีวิตี (RIA) (---) ของฮอร์โมน FSH ตลอดช่วง 72 ชั่วโมงของการเพาะเลี้ยงเซลล์ ต่อมาได้ส่องของหนูขาว ค่าที่ได้เป็น $\bar{X} \pm \text{SEM. (n=3)}$ ค่า P ที่ได้หาจาก Duncan's multiple range test เมื่อเทียบกับกลุ่มควบคุม * = P < 0.05, ** = P < 0.01, NS = NOT SIGNIFICANT และ (-) = ค่าต่ำกว่ากลุ่มควบคุม

ตารางที่ 10 แสดงจำนวนสเตอรอยด์ที่มีอยู่ในเซรัมลิงแสมเพศผู้และเพศเมียระยะต่างๆที่ใช้ในการทดลอง

เซรัม 6%	สเตอรอยด์ ($\times 10^{-15}$ M./เซรัม 120 ul)		
	อีสโตรเจน	โปรเจสเตอโรน	เทสโทสเตอโรน
S ₁ ♂	2.16	552	144
S ₁ ♀	1.68	528	84
S ₂ ♂	2.16	912	162
S ₂ ♀	40.80	492	51.6
S ₃ ♂	3.12	1032	672
S ₃ ♀	22.56	624	198
ส่วนไคอะไลสเต S ₂ ♂	-	-	14.4
ส่วนนอน-ไคอะไลสเต S ₂ ♂	-	-	153.6

2. ผลของส่วนที่มีน้ำหนักโมเลกุลสูงและส่วนที่มีน้ำหนักโมเลกุลต่ำของเซรัม S₂ ต่อปริมาณฮอร์โมน FSH ที่หลังจากเซลล์ต่อมใต้สมองของหนูขาว

2.1 ปริมาณฮอร์โมน FSH ในกลุ่มควบคุม

จากตารางที่ 9 และรูปที่ 19 ในกลุ่มควบคุมแสดงปริมาณฮอร์โมน FSH ที่หลังจากต่อมใต้สมองของหนูขาว พบว่าค่า BA-FSH ก่อนข้างคั่งที่ในอาหารเลี้ยงเซลล์จากการเปลี่ยนอาหารทั้ง 3 ครั้งส่วนค่า RIA-FSH ลดต่ำลงเรื่อยๆ ในอาหารเลี้ยงเซลล์จากการเปลี่ยนครั้งที่ 2, 3 และ 4 จึงทำให้อัตราส่วนของ BA:RIA สูงขึ้นจาก 2.15 ± 0.26 , 2.51 ± 0.1 ถึง 3.56 ± 0.28 (รูปที่ 20) และในรูปที่ 21 แสดงปริมาณสะสมของฮอร์โมน FSH ในรูป BA-FSH และ RIA-FSH ซึ่งเหมือนกับกลุ่มควบคุมในการทดลองที่ 1 (ตารางที่ 7)

2.2 ปริมาณฮอร์โมน FSH เมื่อใส่ส่วนไคอะไลสเต 6% (ส่วนที่มีน้ำหนักโมเลกุลต่ำ)

จากตารางที่ 9 และรูปที่ 19 เมื่อใส่ส่วนที่มีน้ำหนักโมเลกุลต่ำลงในเซลล์

ต่อมไตสมองของหนูขาว พบว่าค่า BA-FSH ในอาหารเลี้ยงเซลล์จากการเปลี่ยนทั้ง 3 ครั้ง ไม่แตกต่างไปจากกลุ่มควบคุม ส่วนค่า RIA-FSH ในอาหารเลี้ยงเซลล์จากการเปลี่ยนครั้งที่ 2 และ 3 ต่ำกว่ากลุ่มควบคุม 0.22 เท่า ส่วนในอาหารเลี้ยงเซลล์ของการเปลี่ยนครั้งที่ 4 ไม่แตกต่างไปจากกลุ่มควบคุมทำให้อัตราส่วนของ BA:RIA ในอาหารเลี้ยงเซลล์ของการเปลี่ยนครั้งที่ 2 และ 4 ไม่แตกต่างไปจากกลุ่มควบคุมแต่ในอาหารเลี้ยงเซลล์ของการเปลี่ยนครั้งที่ 3 เพิ่มขึ้นจากกลุ่มควบคุม 1.75 เท่า (รูปที่ 20) ในรูปที่ 21 แสดงปริมาณสะสมของฮอร์โมน FSH ทั้งในรูป BA-FSH และ RIA-FSH โดยพบว่าค่าปริมาณสะสมของ BA-FSH สูงกว่ากลุ่มควบคุมอย่างมีนัยสำคัญทางสถิติ ส่วนค่าปริมาณสะสมของ RIA-FSH ต่ำกว่ากลุ่มควบคุมอย่างมีนัยสำคัญทางสถิติตลอดการเพาะเลี้ยง

2.3 ปริมาณฮอร์โมน FSH เมื่อใส่ส่วน นอน-โคอะโลเสท 6% (ส่วนที่มี น้ำหนักโมเลกุลสูง)

จากตารางที่ 9 และรูปที่ 19 เมื่อใส่ส่วนที่มีน้ำหนักโมเลกุลสูงลงในเซลล์ต่อมไตสมองของหนูขาวพบว่าค่า BA-FSH เพิ่มขึ้นจากกลุ่มควบคุม 1.5 เท่า ส่วนค่า RIA-FSH ในอาหารเลี้ยงเซลล์จากการเปลี่ยนทั้ง 3 ครั้งไม่แตกต่างไปจากกลุ่มควบคุมจึงทำให้อัตราส่วนของ BA-FSH ในอาหารเลี้ยงเซลล์ของการเปลี่ยนครั้งที่ 2 สูงกว่ากลุ่มควบคุม 1.5 เท่า (2.82 ± 0.11 เทียบกับ 2.15 ± 0.26) ส่วนในอาหารเลี้ยงเซลล์ของการเปลี่ยนครั้งที่ 3 สูงกว่ากลุ่มควบคุม 2 เท่า (4.27 ± 0.44 เทียบกับ 2.51 ± 0.10) และในอาหารเลี้ยงเซลล์ของการเปลี่ยนครั้งที่ 4 สูงกว่ากลุ่มควบคุม 1.5 เท่า (4.84 ± 0.59 เทียบกับ 3.56 ± 0.28) (รูปที่ 20) และในรูปที่ 21 เป็นปริมาณสะสมของฮอร์โมน FSH พบว่าปริมาณสะสมของค่า BA-FSH สูงกว่ากลุ่มควบคุมตลอดเวลาการเพาะเลี้ยง ส่วนปริมาณสะสมของ RIA-FSH ไม่แตกต่างไปจากกลุ่มควบคุม

เมื่อนำผลการทดลองจากข้อ 2.2 และ 2.3 มาเปรียบเทียบกับผลของการเติมเซรัม S_2 พบว่าอัตราส่วนของ BA:RIA ของการเติมส่วนที่มีน้ำหนักโมเลกุลต่ำและการเติมส่วนที่มีน้ำหนักโมเลกุลสูงจะไม่มี ความแตกต่างจากอัตราส่วนของ BA:RIA จากการเติมเซรัม

เพศผู้

